

避上する津波の先端条件について

東北大学工学部 正員 工博 若崎敏夫
" " 工修 ○島程宏由

3-1. 序

汀線より海側での戻瀬における津波は碎けていかないかのいすれかである。微小振中長波とこの津波の避上は、たとえ海底のまさつ効果を考慮しても津波は碎けないから比較的容易に解析できる。しかし、微小振中の扱いでは相対波高が小さく、従って波速、流速も小さいから工学的にはそれ程問題にはならない。汀線近傍での津波は相対波高が大きく、波高と水深はほぼ同じ程度の大きさであるから波速、流速も大きく、かつ海底のまさつ効果も無視できない大きさとなるからできる限り有限振中長波とこの扱いが望ましい。本に工学的にもこのような場合が最も重要である。

しかし、有限振中長波とこの津波の解析は一般に非常に厄介である。特に解析に特性曲線法が用いられる場合によく知られていており、汀線から陸側での避上波先端における境界条件の与え方は難しい問題の一つである。従来は先端が碎けて汀際に達する場合は、もし底まさつ効果を考慮に入れれば $Fr = \infty$ 、即ちまさつ項が無限大となるし、碎けないで到達する場合は先端の水理量が全く0となり、いすれにしてもそれから先に計算を進めるには何らかの仮定をいなければならなかった。

この論文では、上に述べによりて汀線と陸上での先端条件について特性曲線法を用いて理論的に考察した結果、底面勾配と底まさつ勾配には無関係に一般に $Fr = 2$ であることを見出した。この条件は海側から汀線に到達する波波の先端が碎けていかないことを意味するから、一般的の有限振中長波の陸上避上の問題に適用できるであろう。

3-2. 陸上避上波に関する既往の研究

dry bed 上の波の挙動を理論的に扱ったのは St. Venant (1843)⁽¹⁾ が最初である。彼は有名なダム決壊の問題の中で、ダム下流側の水深が次第に小さくなつて遂には0になった極端での front の速度 $U_f = 2\sqrt{gh_0}$ 、 (h_0 はダム上流側の初期水深)、波速 $C_f = \sqrt{gh_f} = 0$ 、 (h_f はダム下流側の front の水深)、従つて $Fr = \infty$ なる front condition を導いた。それから約 100 年後 Keulegan (1949)⁽²⁾ は戦費流に関するより広い一般的な見地から St. Venant の front condition を説明した。また、 Schoklitsch (1917)⁽³⁾ は実験により St. Venant の式は底まさつ効果のためにダム下流側では実験とよく合わないことを指摘した。同様に、例をば Ré (1946)⁽⁴⁾、 Dressler (1952)⁽⁵⁾、 Faure & Nahas (1961)⁽⁶⁾、 Freeman & Mélante (1964)⁽⁷⁾ 等々は底面勾配あるいは底まさつ勾配の効果を考慮した理論的、実験的研究により St. Venant の式を補正し発展させた。

一方、Carrier & Greenspan (1958)⁽⁸⁾ は有限振中長波の front の波面勾配が0ならば碎けないでも避上し得ることを示し、Greenspan (1960)⁽⁹⁾ は front の波面勾配が正ならば汀際に達する前に必ず碎けることを示した。岸 (1961)⁽¹⁰⁾ は同様に有限振中長波の底面反射のない進行波近似により Greenspan とは別に結論を得た。しかし、首藤 (1964)⁽¹¹⁾ は水平床上での長波の複形の吟味から Greenspan 流の扱いに疑問を投じ、front の曲率項の如何によつてせんしも碎けないのでクライ

下波状波浪になり得る可能性があることを示した。

たゞ、Whitham (1959)⁽¹⁰⁾, Keller, Levin & Whitham (1960)⁽¹¹⁾ 等は鉛波が汀線に達したときの極限を詳しく調べて、鉛波は汀線で消滅して伝播速度は水粒子速度に置換されて有限値として求められることを示し、Ho & Meyer (1962)⁽¹²⁾, Shen & Meyer (1963)⁽¹³⁾ 等は基本となる偏微分方程式は汀線で数値的特異点となり、それは加速度の特異点であることを示して Whitham 等の法則を補正し、更に超幾何関数を用いて陸上への週上と逆流の現象を解析的に解いた (Shen & Meyer)。⁽¹⁴⁾ Amein (1964)⁽¹⁵⁾ は Shen & Meyer 等の方法は鉛波 (bore) に強く波形の影響を無視しているので major bore method であるとして、これを少し発展させた minor bore method を提案している。

以上の研究は殆ど非線形波水理論の基本式から出発して特性曲線式を導き、特性曲線法そのものでのあることは多大変形した解析的方法を行なわれている。しかし、津波の陸上週上という見地からは最も重要な反射とまつ損失についての追究は十分行われてこなかった。これに対して、底水さく効果を考えて Freeman & Mehauté (1964), Mehauté (1965)^{(16), (17), (18)} は spilling breaker inception の現象から出発して陸上に週上了波は、恰も St. Venant の τ の決済による波に似た rarefaction wave であると見做した。即ち、図-1 に示すように

St. Venant's front では $Fr = U_f/C_f = \infty$ と計算されたので、

これを避けるために $C_i = AU_i$ ($A < 1/2$) のように理論的に切って、断面を後退してまつ現を導入した。従って、 $A = 0$

即ち $C_i = C_f = 0$ なる実際の front の軌跡は直線として求められることになる。若垣、井上、大塚 (1966)⁽¹⁹⁾ 等は底勾配が $1/5$ 以上の実験値として、Mehauté 等の次式が通用でき、 $A = 0.26$, $f = 0.005 \sim 0.1$ なる結果を得ている。

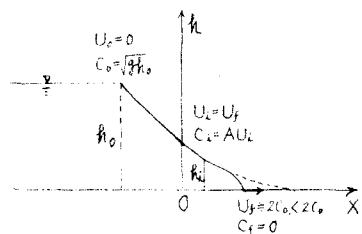


図-1

Abbott (1961)⁽²⁰⁾, Abbott & Torbe (1963)⁽²¹⁾, Abbott (1966)⁽²²⁾ は Keulegan 流に成層流に関する front condition をより詳しく調べて、fluid front には St. Venant front ($Fr = U_f/C_f = \infty$) と wave front ($Fr = U_f/C_f = 1$ or 2) の二種類があることを提案した。Abbott's wave front condition は Fr 数の定義が明確であり、Mehauté 等の $C_i = AU_i = AU_f$ なる関係 (彼らは Fr 数という定義はない) とは異なり front profile も勿論異なるものである。しかし、 $Fr = 2$ については底勾配によって勾配が英に 0 である。これらは両者が平衡している様型の場合に限られており、理論的な説明も成層流の不等性限界条件から直接的に front condition に結びつけているところである。

横井、中村、白石、佐々木 (1962)⁽²³⁾ は水平床上の鉛波の伝播速度を擾乱体数と抵抗体数を含む一般形で求め、擾乱体数が 1 以上との抵抗体数は実験的に求められる。dry bed 上での実験はなされないが、与えられた图表より外挿すれば $U_f = 1.72 C_f$, ($\gamma = 0.83$) なる関係が得られるようである。

若崎、高程 (1968)⁽²⁴⁾ は鉛直岸壁の尖端上で限界水深 ($Fr = U_w/C_n = 1$) 以下に係る、水平な dry bed 上では、Keulegan, Abbott, Mehauté らの他の研究者が front condition を統合して $Fr = 2$ を用いて実際の計算例と実験結果を示したが、 $Fr = 2$ と 1 に根柢を以下に説明する。

5-3. 先端条件について

二元解析に於て、水深 $h = h(x)$ 、中 $b = b(x)$ と表わされるが、断面変化がそれ程複雑でなく限りは、残りは front $f = f(x, t)$ がわかれれば内点は別に問題なく計算できる。先づいう意で front condition は波を決めると言つても過言ではない。

3-2. 二級的につきに、ここでは有限振幅長波の陸上避上に限る議論を進める。Carrier & Greenspan⁽¹⁾ と Shen & Meyer⁽²⁾ 等の解析的方法を別にすれば、波形では St. Venant⁽³⁾

Keulegan⁽⁴⁾ と Abbott⁽⁵⁾ の二つに大別できる (図-2, cf. Abbott⁽²⁾)。Freeman & Mähaut⁽⁶⁾ 等の波形は本頂的には St. Venant, Keulegan 等のものと同じよりもあるが、各 wave element の front の理論的 cut がそれより多くは第2次近似では Abbott のそれと似た形をしている。筆者等が主張する波形は本頂的には Abbott の形と同じである。更に底床勾配と底までの勾配(平衡してない)の効果を入れ、かつ Freeman & Mähaut⁽⁶⁾ 流に各 wave element についてこれを拡張する。

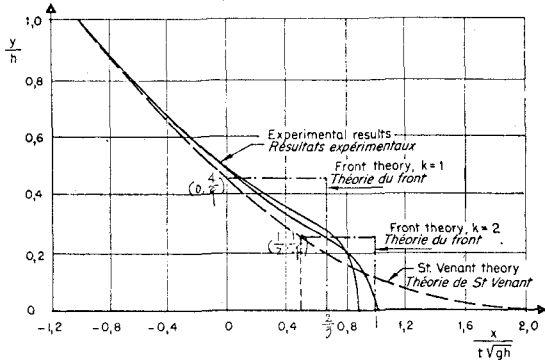


図-2

のものと同じよりもあるが、各 wave element の front の理論的 cut がそれより多くは第2次近似では Abbott のそれと似た形をしている。筆者等が主張する波形は本頂的には Abbott の形と同じである。更に底床勾配と底までの勾配(平衡してない)の効果を入れ、かつ Freeman & Mähaut⁽⁶⁾ 流に各 wave element についてこれを拡張する。

5-3-1. 海側で碎けはじめて避上する場合

[A] 一斜傾斜海岸の場合

上に述べたように、水深と中の変化を制限添加しなくてよいが、説明の都合上 impact の手元易く、かつ計算し易い図-3のようす。単位冲立一斜傾斜海岸の場合を考える。

(1) FRONT (SEA SIDE)

$$H = -1 + S_2(X + XX)$$

$$H = 0, X = 0 \text{ おり}$$

$$XX = \frac{1}{S_2}$$

$$dT = \frac{dX}{C_f} = \frac{dX}{|H|^2} = -\frac{1}{S_2} |H|^{-\frac{1}{2}} d|H|$$

$$\int_{-TT}^T dT = -\frac{1}{S_2} \int_{-1}^H |H|^{-\frac{1}{2}} d|H| = -\frac{2}{S_2} [|H|^{\frac{1}{2}}]_{-1}^H$$

$$T = -TT - \frac{2}{S_2} [|H|^{\frac{1}{2}} - 1]$$

$$T = 0, H = 0 \text{ おり}$$

$$TT = \frac{2}{S_2}$$

$$T = -\frac{2}{S_2} |H|^{\frac{1}{2}} = -\frac{2}{S_2} \{ 1 - S_2(X + XX) \}^{\frac{1}{2}}$$

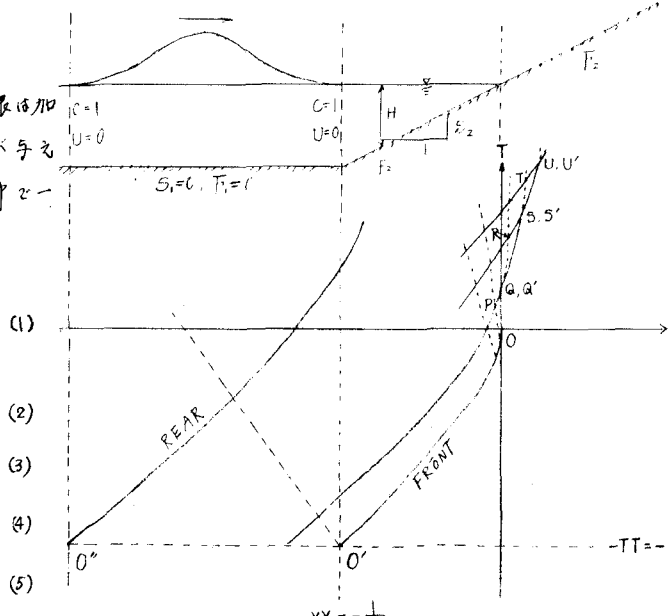


図-3

$$X = \frac{1}{S_2} \{ 1 - (T/\tau)^2 \} - XX \quad (9)$$

即ち、海側で Δ front は $\frac{dX}{dT} = C$, ($U=0$ 故 $Fr=0$) に沿って進むが汀線では $\frac{dX}{dT} = 0$, ($X=0, T=0, U=0, C=0$) となり丁軸に接するようにして到達する。従来の計算はこれ以上進めないと考えられてきたが、これは実は $\frac{dX}{dT} = 0$ に沿って $U_0=0, C_0=0$ の汀線条件 (shoreline condition) が決定されるところと同様である。

(2). REAR ~ 0' ~ INITIAL ~ 0' ~ FRONT

二点中内点故、二点 A, B から一点 C を求めると普通の計算ができる。

$$U_C + 2C_C = U_A + 2C_A + g_A(T_C - T_A), \quad g_A = -[S_2 + F_2(U_A/C_A)^2] \quad \text{along } \frac{dX}{dT} = U_A + C_A \quad (9)$$

$$U_C - 2C_C = U_B - 2C_B + g_B(T_C - T_B), \quad g_B = -[S_2 + F_2(U_B/C_B)^2] \quad \text{along } \frac{dX}{dT} = U_B - C_B \quad (10)$$

これを解けばよい。

(3). Q (=Q') 点 (FRONT CONDITION)

0 ~ Q' (SHORELINE CONDITION)

$$U_{0 \sim Q'} = 0, \quad C_{0 \sim Q'} = 0, \quad \text{along } \frac{dX}{dT} = 0 \quad (11)$$

$$P, \quad Q' \rightarrow Q$$

$$U_Q + 2C_Q = U_P + 2C_P + g_P(T_Q - T_P), \quad g_P = -[S_2 + F_2(U_P/C_P)] \quad (12)$$

$$U_Q - 2C_Q = U_{0 \sim Q} - 2C_{0 \sim Q} + g_{0 \sim Q}(T_Q - T_{0 \sim Q}) \quad g_{0 \sim Q} = -S_2, \quad (U_{0 \sim Q}/C_{0 \sim Q} \text{ は定義できない}) \quad (13)$$

$U_{0 \sim Q} = 0, \quad C_{0 \sim Q} = 0, \quad T_Q - T_{0 \sim Q} = 0$ だから右辺が 0 故 $U_Q - 2C_Q = 0$ 、即ち、front のすぐ後の wave element は汀線(丁軸)に進むと (11) 式の shoreline condition が適用され、 $U = 2C$ が front condition が決定される。波形は鉛直壁のようになら、2つ dry bed 上 surge front となる。

(4). S (=S') 点

差分する前の正の特性曲線式について

$$d(U+2C) = g dT, \quad g = -[S_2 + F_2(U/C)^2], \quad \text{along } \frac{dX}{dT} = U+C \quad (14)$$

$$Q \rightarrow S'$$

Q 点上の front condition を適用して $C = AU$, ($A = \frac{1}{2}$) が得られる。これを (14) 式に入れて積分すると

$$U^2/2 = U_Q^2/2 + g_Q(X-X_Q)/(1+A)(1+2A) \quad (15)$$

$$U = \{U_Q^2 - B(X-X_Q)\}^{1/2}, \quad B = 2(S_2 + F_2/A^2)/(1+A)(1+2A) \quad (16)$$

元来 (14) 式は P, R, T 点のような内点で成立する関係式であるが、それが Q, S, U のような点で front に進むにつれて瞬間 $C = AU$ が front condition を満足するわけであり、そういう点の流速 U が一般に (16) 式で表わされるように、X の増大と共に減少していくことを示している。その動きは

$$\frac{dX}{dT} = U \quad (17)$$

たゞ front の伝播速度を表わす式を (16) 式と連立して積分すれば

$$T = T_Q + 2/B[U_Q - B(X-X_Q)]^{1/2} \quad (18)$$

と表わされる。即ち、 $C = AU$ が front condition を満足する点の軌跡は、一般に底床勾配と底水勾配の初期により曲線状の boundary line を描きながら、遂には R 点から出てく特徴線に進むにつれて S 点まで進むことを意味している。従って S' 点で (16), (17), (18) 式より

$$U_{S'} = \left\{ U_a^2 - B(X_{S'} - X_0) \right\}^{\frac{1}{2}}, \quad B = 2(S_z + F_z/A^2)/(1+A)(1+2A) \quad (19)$$

$$C_{\sigma'} = A \cup_{\sigma'} \{z_0\}$$

$$T_{S'} = T_a + (X_{S'} - X_a) / U_a, \quad (U_{S'} = U_a \text{ or } \infty) \quad (21)$$

$$T_{S'} = T_S + 2/B(U_S - U_{S'}), \quad (U_{S'} < U_S \text{ and } \frac{d}{2}) \quad (22)$$

七下三。

R, S' → S

$$U_S + 2C_S = U_R + 2C_R + Q_R(T_S - T_R), \quad Q_R = -[S_2 + F_2(U_R/C_R)^2] \quad (23)$$

$$U_s - 2 C_s = U_{s'} - 2 C_{s'} + Q_{s'}(T_s - T_{s'}) \quad Q_{s'} = -[S_2 + F_2 / A^2] \quad (24)$$

S' 点は front boundary 上に於るから $U_{S'} - 2C_{S'} = 0$ ((13) 式の場合と内側は異なる), $T_{S'} - T_S = 0$ (これは (13) 式の場合と同じ) となり, 両邊は 0 及 $U_S = 2C_S$ なる front condition が自然に決定される。以下同様に $S \rightarrow U'$, $T, U' \rightarrow U$, ... と求められ, 最終的に front 付の包絡線 (二点の綱目包絡限界より少くない場合に相当する) として与えられる。

尚、最大逆上高は、 $X > 0$ の $\frac{dX}{dt} = 0$ の点で与えられる。

[B]. 鉛直岸壁超越尤之避上木子場合

(1). frontが丁軸に達したとき、丁軸には移しない時、それ以外は[A]と同じ様で廻る。

(2). 鉛直岸壁(海側天端下)での境界

条件(図-4(1),(2))

$0 \sim W$ (天端); 碰面で全反射ある。

例えは $V \rightarrow W$ では

V, V' (仮想の反射点) $\rightarrow W$

$$U_w + 2C_w = U_v + 2C_v + q_v(T_w - T_v) \quad (25)$$

$$U_w - 2C_w = U_v - 2C_v + q_{vw}(T_w - T_v)$$

$$= -U_V - 2C_V - Q_V(T_H - T_V) \quad (26)$$

$$\therefore U_W = 0 \quad (27)$$

$$C_W = \frac{1}{g} \left\{ U_V + 2C_V + g_V(T_W - T_V) \right\} \quad (28)$$

(3). 鉛直岸壁(海側天端上)での境界条件

P_1, P'_1 (假想の反射点) $\rightarrow Q_1$

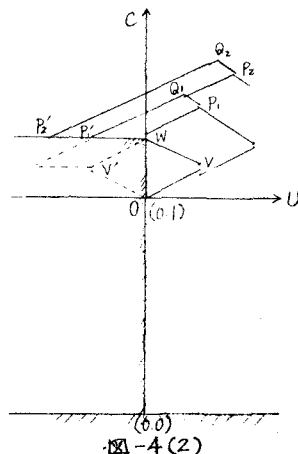
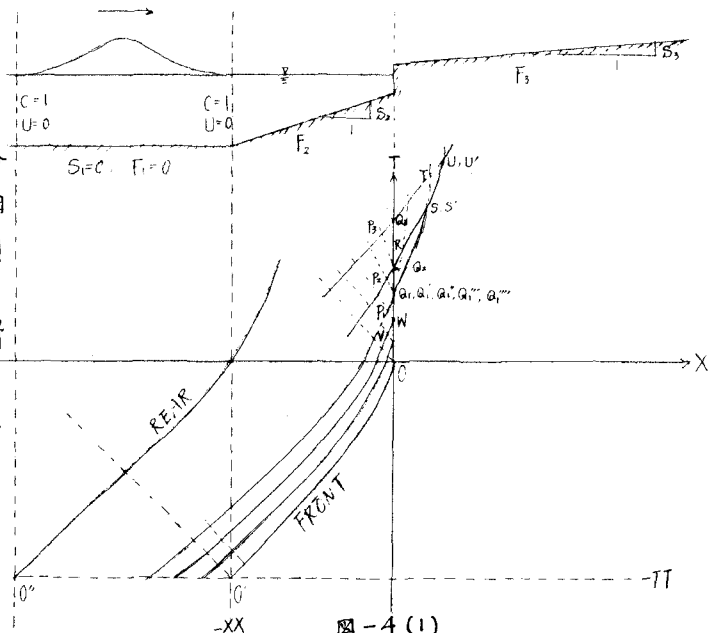
$$U_{\alpha 1} + 2C_{\alpha 1} = U_{p1} + 2C_{p1} + q_{p1}(T_{\alpha 1} - T_{p1}) \quad (29)$$

$$U_{ai} - 2C_{ai} = U_{pi} - 2C_{pi} + \theta_{pi}(T_{ai} - T_{pi})$$

$$= -U_{p1} - 2C_W - q_{p1}(T_{q1} - T_{p1}) \quad (30)$$

$$\therefore U_{\text{eff}} = C_{p1} - C_w \quad (31)$$

$$C_{ai} = \frac{1}{2} \{ U_{pi} + C_{pi} + C_w + Q_{pi} (T_{ai} - T_{pi}) \} \quad (32)$$



(4) 鉛直岸壁(陸側天端上)での限界水深の条件

鉛直岸壁(天端上)では同じ位置で海側と陸側の二つの水深をとるが、海側では常流、陸側では射流であるから、丁度鉛直岸壁(陸側天端上)では限界水深に立ちなければならぬ。即ち、(31), (32)式を $Fr=1$ の関係に換算するわけである。

陸側への換算：

$$U_{ai} = U_{ar} \quad (33)$$

$$C_{ai} = (C_{ar}^2 - C_w^2)^{\frac{1}{2}} \quad (34)$$

$Fr=1$ の関係への換算：

$$U_{ai}'' + 2C_{ai}'' = U_{ar} + 2C_{ar} + g_{ai}(T_{ar} - T_{ai}) \quad (35)$$

$$U_{ai}'' = C_{ar} \quad (36)$$

又 Q_r, Q_{ir} は同じ点だから $T_{ar} - T_{ai} = 0$

$$\therefore C_{ai}'' = \frac{1}{3}(U_{ar} + 2C_{ar}) \quad (37)$$

(5). $Q_i''' (= Q_i'')$ 点 (FRONT CONDITION)

$W \sim Q_i'''$ (SHORELINE CONDITION)

以下 [A] の (3) 以後の計算法と全く同样である。

3-3-2. 海側で碎けた施工方法の場合

[A]. 一岸傾斜海岸の場合

→ 2-18 front は fully developed bore であるとする。もし crest の附近だけが碎けた \Rightarrow spilling breaker であれば、すぐとも front では 3-1 の [A] のやり方と全く同样である。
→ bore crest が汀線に達する点は Q 点であるとする (図-5)。bore が汀線に達するとき Whitham⁽¹⁾, Ho & Meyer⁽²⁾ 等が指摘するように、図-5 の P → Q のよう \Rightarrow limiting characteristic の存在する。一方、Méhauté⁽³⁾ が指摘するように、汀線では shock condition の連続式より得られる bore の伝播速度 W の式

$$W = \frac{U_u C_u^2 - U_a C_a^2}{C_u^2 - C_a^2} \quad (38)$$

における $U_a = 0, C_a = 0$ となるから

$$C_u^2 (W - U_u) = 0 \quad (39)$$

故に $C_u \neq 0$ とすれば

$$W = U_u \quad (40)$$

従来の P^{*} 運動量の式

$$C_u^4 - C_a^4 = 2C_a^2(W - U_a)(U_u - U_a) \quad (41)$$

を加味して得られる bore の伝播速度 W の式

$$W = U_a + \frac{C_u}{C_a} \left(\frac{C_u^2 + C_a^2}{2} \right) \quad (42)$$

まわはや汀線 ($U_a = 0, C_a = 0$) で従来どおりと考えられる。

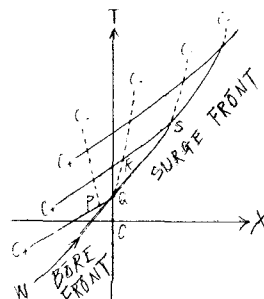


図-5

即ち、bare front が汀線で消滅して limiting characteristic に置き換えられたと同時に $\frac{dx}{dt} = 0$ 上で $U_a = 0$, $C_a = 0$ すなshoreline condition を満足するければならない。従って

$$U_{ua} + 2C_{ua} = U_p + 2C_p + q_p(T_a - T_p) \quad (43)$$

$$U_{ua} - 2C_{ua} = U_{ad} - 2C_{ad} + q_{ad}(T_a - T_d) \quad (44)$$

この関係は §-3-1 の [A] の (12), (13) 式の内容と全く同じである。ただし、front が海側で碎けた後で汀線に達する場合は、次に既に特性線に shoreline condition が適用されるまで $0 \sim Q'$ なる時間（隔が Δt ）だが、碎けた汀線に達する場合は bare front が到達すると同時に shoreline condition が適用される。次いで front condition が適用され、次々と陸上進上の計算が繰り返される過程は前と同じであり、surge front の形状も同じである。

[B]. 鋼直壁を越えて陸上する場合

まだ詳しく検討してはいないが、昨年の東北支部技術研究交流委員会⁽²⁵⁾で発表されたように、陸堤に対する津波の効果の計算法と殆ど同じような取扱いができるものと思われる。

§-4. 結

1-0. 先端が碎けて陸上する場合

1. 海上の先端条件は $U = 0$, $C \neq 0$ $\therefore Fr = 0$ で $\frac{dx}{dt} = C$ で表わされる。

2. 汀線 " $U = 0$, $C = 0$ で $\frac{dx}{dt} = 0$ "

3. 陸上 " $U = 2C, C \neq 0$ $\therefore Fr = 2$ で $\frac{dx}{dt} = U$ "

4. 陸上の先端形状は鋸直壁のようになり、これを surge front である。

2-0. 先端が碎けて陸上する場合

1. 海上の先端条件は $W \neq 0$, $C \neq 0$ で $\frac{dx}{dt} = W$ で表わされる。

2. 汀線 " $U_a = 0$, $C_a \neq 0$ で $\frac{dx}{dt} = 0$ "

3. 陸上 " $U = 2C, C \neq 0$ $\therefore Fr = 2$ で $\frac{dx}{dt} = U$ "

4. 陸上の先端形状は鋸直壁のようになり、これを surge front である。

参考文献

- ex. Keulegan, G. H. : Engineering Hydraulics, edited by Hunter Rouse ; 1950 Edn. Chapter XI, pp. 711 ~ 768
1. 1. と同じ
- Ré, R. : Etude du lâcher instantané d'une retenue d'eau dans un canal par la méthode graphique, Grenoble : La Houille Blanche, 1946. 5
- Dreicer, R. F. : Hydraulic resistance effect upon the dam-break functions ; Journal of Research, Natl. Bur. of Standards, Washington, D.C., Vol. 49, No. 3, 1952, pp. 207 ~ 225
- Faure, J. and N. Nahas. : Deux problèmes de mouvement non-permanents à surface libre résolus sur ordinateur électronique ; IXth Congress, I.A.H.R., Dubrovnik, 1961

6. Freeman, J.C. and B.L. Méhaute : Wave breakers on a beach and surges on a dry bed ; U.S.-Japan cooperative scientific research seminars on tsunami run-up, 1965, 4
7. Carrier, G.F. and H.P. Greenpan : Water waves of finite amplitude on a sloping beach ; *Jour. of Fluid Mech.*, Vol. 4, 1958, pp. 97 ~ 112
8. Greenpan, H.P. : On the breaking of water waves of finite amplitude on a sloping beach ; *Jour. of Fluid Mech.*, Vol. 4, 1958, pp. 330 ~ 334
9. 岸 月, 花井正次 : 津波の発生と陸上への打上げ高 ; 第8回海岸工学講演会講演集, 工木学会, 昭36. 9, pp. 41 ~ 45
10. 首藤伸夫 : 斜面について一水平床上での斜面の変形 ; 工研報告第123号n.8, 昭39. 11
11. Whitham, G.B. : On the propagation of shock waves through regions of non-uniform area or flow ; *Jour. of Fluid Mech.*, 4, pp. 337 ~ 360, 1958
12. Keller, H.B., D.A. Levin and G.B. Whitham : Motion of a bore over a sloping beach ; *Jour. of Fluid Mech.*, 7, 1960, pp. 303 ~ 320
13. Ho, D.V. and R.E. Meyer : Climb of a bore on a beach, Part 1, uniform beach slope ; *Jour. of Fluid Mech.*, 14, 1962, pp. 305 ~ 318
14. Shen, M.C. and R.E. Meyer : Climb of a bore on a beach, Part 2, non-uniform beach slope ; *Jour. of Fluid Mech.*, 16, 1963, pp. 108 ~ 112
15. Shen, M.C. and R.E. Meyer : Climb of a bore on a beach, Part 3, run-up ; *Jour. of Fluid Mech.*, 16, 1963, pp. 113 ~ 125
16. Amein, M. : Long waves on a sloping beach and wave forces on a pier deck ; U.S.-Japan cooperative scientific research seminars on tsunami run-up, 1965, 4
17. Méhaute, B.L. : On surges on a dry bed and wave run-up ; U.S.-Japan cooperative scientific research seminars on tsunami run-up, 1965, 4
18. Méhaute, B.L. : On the wave run-up of solitary waves ; U.S.-Japan cooperative scientific research seminars on tsunami run-up, 1965, 4
19. Abbott, M.B. : On the spreading of one fluid over another, Grenoble ; La Houille Blanche, 5, 6, 1961
20. Abbott, M.B. and I. Torbe : On flows and fronts in a stratified fluid, London ; Proc. Roy. Soc., A, Vol. 273, 1963
21. Abbott, M.B. : On the stability of stratified flows ; XIth Congress, I.A.H.R. Leningrad, 1965
22. 岩垣, 井上, 大塚 : のり面上の波の越工機構に関する実験的研究 ; 第13回海岸工学講演会講演集
23. 福井, 中村, 白石, 佐々木 : 津波の研究(I)一段波津波の波速について ; 第9回
24. Iwasaki, T. and H. Togashi : On the overland flow of tsunami and effectiveness of wall as a counter measure ; XIth conference on coastal engineering, London, 1968, 9
25. 岩垣, 菅原, 橋本, 村山 : 陸上に越上する津波に対する防護堤の効果について ; 東北支那技術研. 昭42

ENVIRONMENT INPUT CARD	DATE	NAME	SYMBOL	SYMBOL VALUE	LINKLOAD inMEMORY MAP REG; UGGU! LIB=D: NO LIB SYMBOL VALUE	NO KW9 SYMBOL VALUE	PAGE 001	
PHASE BASE	69029	NEFTANCHOR	00001510	"-REV	OBJECT AT 00517775	IPC 00000000	REV#	JOB \$12E
LIB-D	TITLE	NEFTANCHOR	00001510	"-REV	DATE	R-FACT 00001510	BASE2	00517776
	OTRN/	00001515	SIXX/	00002524	SPX/	00003340	SPUX/	00004215
	EFF/	00002650	ERR/	00010516	ERCT/	00010475	STUX/	00004667
	EPO/	00010504	STRN/	00010514	LOGV/	00010515	DIVL/	00010503
	NDR/	00010417	UDRV/	00010425	LGH/	00010525	STRT/	00010505
	TABLE/	00001555	WTBL/	00002556	FPTW/	00001516	PBAS/	00022060
	CHAR/	00005624	NC4/	00002523	HEC6/	00002525	FILT/	00001324
	TIPF/	00002547	TME/	00002547	TMPLD/	00002540	NECB/	00002527
	EFIA/	00004215	SCAL/	00004217	WIDT/	00004221	TMPC/	00002537
	DA5E/	00004230	BUFF/	00004234	FLAV/	00004240	DECH/	00004223
	FNTL/	00004670	END5/	00004671	INPUT/	00006016	FTDS/	00004240
	END/	00007142	ERRX/	00006555	EFIX/	00006770	M5GF/	00004240
	PAUS/	00010547	STOD/	00010466	STOP/	00010626	ERRV/	00006167
	CKUN/	00011127	INPU/	00012247	DORS/	00017051	FADY/	00012271
	BASE1	PBAS/	00022060	"-REV	DATE	01/29/69 R-FACT 00022060	UNIT/	00012271
	MGO	TITLE	MAINPG	"-REV	000	P-REV	DUR/	00021405
LIB-D	TITLE	NEFTBOMRI	00056051	"-REV	DATE	R-FACT 00056051	BASE2	00517776
LIB-D	TITLE	NEFTCORDF	00056224	"-REV	DATE	R-FACT 00056224	BASE2	00517776
LIB-D	TITLE	NEFTDOLSF	00056467	"-REV	DATE	R-FACT 00056467	BASE2	00517776
LIB-D	TITLE	NEFTBUCCNI	00061064	"-REV	DATE	R-FACT 00061562	BASE2	00517776
LIB-D	TITLE	NEFTBRCNO	00070264	"-REV	DATE	R-FACT 00070264	BASE2	00517776
LIB-D	BASE1	**X08	00077010	CVO/	00070264	"-REV	BASE3	00517775
LIB-D	TITLE	NEFTBSO10T	00077010	"-REV	DATE	R-FACT 00077010	BASE2	00517776
LIB-D	BASE1	**X08	0007710	IUTA/	00077010	"-REV	BASE3	00517775
LIB-D	TITLE	NEFTBSDVD	0007710	"-REV	DATE	R-FACT 0007710	BASE2	00517776
LIB-D	TITLE	NEFTBSA10D	00077700	"-REV	DATE	R-FACT 00077700	BASE2	00517776
LIB-D	BASE1	**X08	00077750	"-REV	DATE	R-FACT 00077750	BASE2	00517776